

ห้องสมุดงานวิจัย สำนักงานคณะกรรมการการอุดมศึกษาแห่งชาติ



203336



ที่กษาพผลิตภัณฑ์ Spin Torque ที่เกิดจากการความปั่นสูงไฟฟ้าอัลตร้า  
ในหัวอ่านชนิด TMR  
A STUDY OF SPIN TORQUE DUE TO ESD ON TMR READ HEAD

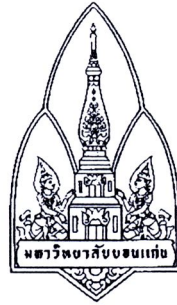
นายนพดิษฐ์ ดุ๊ดดิ้ง

วิทยานิพนธ์ปริญญาปรัชญาดุษฎีบัณฑิต  
มหาวิทยาลัยขอนแก่น

พ.ศ. 2553

b00257066

ห้องสมุดงานวิจัย สำนักงานคณะกรรมการรัฐวิสาหกิจแห่งชาติ



ศึกษาผลกระทบของ Spin Torque ที่เกิดจากการคายประจุไฟฟ้าสถิต  
ในหัวอ่านชนิด TMR

A STUDY OF SPIN TORQUE DUE TO ESD ON TMR READ HEAD



นายณัฏฐ์ชัย จุทอง

วิทยานิพนธ์ปริญญาปรัชญาดุษฎีบัณฑิต  
มหาวิทยาลัยขอนแก่น

พ.ศ. 2553

ศึกษาผลกระทบของ Spin Torque ที่เกิดจากการคายประจุไฟฟ้าสถิต  
ในหัวอ่านชนิด TMR

นายณัฐรชัย จุทธง

วิทยานิพนธ์นี้เป็นส่วนหนึ่งของการศึกษาตามหลักสูตรปริญญาปรัชญาดุษฎีบัณฑิต  
สาขาวิชาวิศวกรรมไฟฟ้า  
บัณฑิตวิทยาลัย มหาวิทยาลัยขอนแก่น

พ.ศ. 2553

**A STUDY OF SPIN TORQUE DUE TO ESD ON TMR READ HEAD**

**MR. NUTTACHAI JUTONG**

**A THESIS SUBMITTED IN PARTIAL FULFILLMENT OF THE REQUIREMENTS  
FOR THE DEGREE OF DOCTOR OF PHILOSOPHY  
IN ELECTRICAL ENGINEERING  
GRADUATE SCHOOL KHON KAEN UNIVERSITY**

**2010**



ในรับรองวิทยานิพนธ์  
มหาวิทยาลัยขอนแก่น  
หลักสูตร  
ปรัชญาดุษฎีบัณฑิต  
สาขาวิชาศึกกรรมไฟฟ้า

ชื่อวิทยานิพนธ์: ศึกษาผลกระบวนการ Spin Torque ที่เกิดจากการ decay ประจุไฟฟ้าสถิตในหัวอ่าน  
ชนิด TMR

ชื่อผู้ทำวิทยานิพนธ์: นายณัฐรุชัย จุทอง

คณะกรรมการสอบวิทยานิพนธ์

ดร. ดวงพร สมพงษ์

ประธานกรรมการ

ดร. ทีปานิส ชาชิโย

กรรมการ

รศ.ดร. อภิรักษ์ ศิริธรรมิวัตร

กรรมการ

อาจารย์ที่ปรึกษาวิทยานิพนธ์:

อาจารย์ที่ปรึกษา

(รองศาสตราจารย์ ดร. อภิรักษ์ ศิริธรรมิวัตร)

.....  
(รองศาสตราจารย์ ดร. ลำปาง แม่นมาตย์)

.....  
คณบดีบัณฑิตวิทยาลัย

.....  
(รองศาสตราจารย์ ดร. สมนึก อีระกุลพิศุทธิ์)

.....  
คณบดีคณะวิศวกรรมศาสตร์

ลิขสิทธิ์ของมหาวิทยาลัยขอนแก่น

ณ ภูริชัย จุทอง. 2553. ศึกษาผลกระทบของ Spin Torque ที่เกิดจากการคายประจุไฟฟ้าสถิต  
ในหัวอ่านชนิด TMR. วิทยานิพนธ์ปริญญาปรัชญาดุษฎีบัณฑิต สาขาวิชาศิลปกรรมไฟฟ้า  
บัณฑิตวิทยาลัย มหาวิทยาลัยขอนแก่น.  
อาจารย์ที่ปรึกษาวิทยานิพนธ์: ดร. อภิรักษ์ คิริธรรจิวัตร

## บทคัดย่อ

203336

ความเสียหายประเภทแฟง ที่เกิดขึ้นในหัวอ่านที่เอ็มอาร์ (Tunneling Magnetoresistance, TMR) อันเป็นผลเนื่องมาจากการคายประจุไฟฟ้าสถิต (Electrostatic discharge, ESD) เป็นปัญหาที่ อุตสาหกรรมการผลิตการผลิตชาร์ตดิสทริฟ ให้ความสำคัญสูงสุด ทั้งนี้เนื่องจากปัญหาดังกล่าวเป็นปัญหาที่ยากต่อการตรวจสอบ และอาจจะไม่ส่งผลกระทบต่อหัวบันทึกในระหว่างที่ทำการผลิต แต่อาจจะส่งผลเมื่อถึงขั้นการผลิตขั้นสุดท้าย หัวอ่านที่เอ็มอาร์ประกอบไปด้วย ชั้นสารหกเหลี่ยม ซึ่งประกอบไปด้วย สารแม่เหล็ก และสารอ่อนนุน ที่มีความบางมาก ทำให้ง่ายต่อการทะลุ โดยเฉพาะอย่างยิ่งการทะลุที่เกิดจากการคายประจุไฟฟ้าสถิต การทะลุที่เกิดขึ้นในหัวอ่านที่เอ็มอาร์นั้น แบ่งออกเป็นสองประเภท คือ การทะลุแบบหนัก ที่เกิดขึ้นในชั้นสารอ่อนนุน และการทะลุแบบเบา ที่เกิดจากพินホール (Pin-hole) ซึ่งการจะตรวจจับความเสียหายโดยอาศัยเครื่องมือวัดนั้น สามารถทำได้หลังจากที่ หัวอ่านที่เอ็มอาร์เกิดความเสียหายแล้ว โดยที่ไม่สามารถระบุถึงสาเหตุเริ่มต้นที่ทำให้เกิดการทะลุได้

งานวิจัยนี้ได้นำเสนอ แบบจำลองไฟฟ้าของหัวอ่านที่เอ็มอาร์ เพื่อใช้สำหรับการวิเคราะห์ความเสียหายที่เกิดขึ้นในหัวอ่านที่เอ็มอาร์ อันเป็นผลเนื่องมาจากการคายประจุไฟฟ้าสถิต จากการจำลองคายประจุไฟฟ้าสถิตจากแบบจำลองมนุษย์ ไปยังหัวอ่านที่เอ็มอาร์ พบร่วมกับ โครงสร้างของหัวอ่านที่เอ็มอาร์ มีคุณสมบัติเป็นวงจรอสมมาตร ซึ่ง ทั้งคุณลักษณะของความเสียหายที่เกิดขึ้นรวมไปถึงระดับแรงดันทะลุ ที่ได้จากการจำลองนี้ ความสอดคล้องกับผลที่ได้จากการทดลองจริงเป็นอย่างมาก จากการวิเคราะห์ความเสียหายที่เกิดขึ้น โดยอาศัยแบบจำลองไฟฟ้าพบว่า การคายประจุไฟฟ้าสถิตเข้าไปยังชั้นหกเหลี่ยม ของหัวอ่านที่เอ็มอาร์ มีผลทำให้เกิดการหลุดออกของอะตอมอักซีเจน อันเป็นเหตุให้หัวอ่านที่เอ็มอาร์ เกิดการทะลุอย่างหนัก ในขณะที่ การคายประจุไฟฟ้าสถิตเข้าไปยังชั้นหกเหลี่ยม ของหัวอ่านที่เอ็มอาร์ เป็นเหตุให้เกิดการกระจายตัวของໂบรอน เข้ายังชั้นอ่อนนุนของแผ่นฟิล์มบางแม่เหล็กที่เอ็มอาร์ อันเป็นเหตุให้หัวอ่านที่เอ็มอาร์ เกิดการทะลุแบบเบา การวิเคราะห์ความเสียหายที่เกิดขึ้นนี้ได้ถูกยืนยันโดยอาศัยการจำลองโครงสร้างอะตอมของแผ่นฟิล์มบางที่เอ็มอาร์ นอกจากนี้ผลจากการคายประจุไฟฟ้าสถิต โดยอาศัยแบบจำลองเครื่องจักร แบบจำลองการสะสูงประจุในอุปกรณ์ รวมไปถึงแนวทางป้องกันความเสียหาย อันเนื่องมาจากการคายประจุไฟฟ้าสถิต ที่เกิดขึ้นในหัวอ่านที่เอ็มอาร์ ยังได้ถูกศึกษาโดยอาศัยแบบจำลองที่ได้นำเสนอในงานวิจัยชั้นนี้

Nuttachai Jutong. 2010. A Study of Spin Torque Due to ESD on TMR Read Heads.

Doctor of Philosophy Thesis in Electrical Engineering, Graduate School,  
Khon Kaen University.

**Thesis Advisor:** Assoc. Prof. Dr. Apirat Siritaratiwat

## ABSTRACT

203336

A Hidden failure in hard disk drive industrial due to Electrostatic discharge (ESD) is a major problem. Since this type of failure can not be detected during process, it maybe affect to hard disk drive in the end of process. The current instruments may not be capable to detect the failure because the magnetic layer of TMR thin film, particularly, in the atomic level is the main cause.

This research presents the analysis methodology for studying the TMR heads deflects by using a circuit model of current and voltage across thin film. To study in atomic level, the electronics structure of TMR thin film is studied.

It is found from simulation and experiment that the equivalent of TMR head is asymmetric. The ESD discharge to R+ terminal requires a higher breakdown voltage than that to R-. The breakdown characteristics of different discharge paths can be found in this thesis. Based on the experiment, it is found that when discharge in to R+, an intrinsic breakdown can be observed while, when discharge in to R-, the extrinsic breakdown can be found. In addition, the spin transport properties of TMR thin film in a multilayer of CoFe/MgO/CoFe are also studied by using SMEAGOL package. It is found from calculation that, the Oxygen vacancy in interface region between the pin layer and the MgO barrier can cause of high resistance ,while Boron diffusion in to interface region between the free layer and the MgO barrier can cause of TMR low resistance .

## กิตติกรรมประกาศ

วิทยานิพนธ์นี้สำเร็จลุล่วงไปด้วยความกรุณาอย่างยิ่งจากองค์ศาสตราจารย์ ดร.อภิรักษ์ ศิริธราริวัตร ประธานกรรมการที่ปรึกษาวิทยานิพนธ์ ซึ่งได้ให้คำแนะนำตรวจแก้ไขข้อบกพร่องต่าง ๆ ด้วยความอาใจใส่ และสนับสนุนให้กำลังใจ อีกทั้งเป็นแบบอย่างที่ดีแก่ผู้วิจัยมาโดยตลอด ขอขอบพระคุณ ศูนย์วิจัยเฉพาะทางด้านส่วนประกอบสาร์ดิติสค์ไดร์ฟ และศูนย์เทคโนโลยีอิเล็กทรอนิกส์และคอมพิวเตอร์แห่งชาติที่ได้ให้ทุนสนับสนุนการวิจัยในระดับปริญญาเอกแก่ผู้วิจัย ขอขอบคุณคณะอาจารย์ภาควิชาศึกษากรรมไฟฟ้า คณะวิศวกรรมศาสตร์ มหาวิทยาลัยขอนแก่น ทุกท่านที่กรุณาร่วมให้ความรู้แก่ผู้วิจัยจนสามารถนำมาใช้แก้ไขปัญหาที่เกิดขึ้นในระหว่างทำวิจัยได้ด้วยดี

ขอขอบคุณ ดร. ดวงพร สมพงษ์ และ ดร. ทีปานิส ชาชิโย ประธานกรรมการ และกรรมการสอบวิทยานิพนธ์ ที่ได้ให้คำแนะนำรวมไปถึงตรวจสอบและแก้ไขข้อบกพร่องต่าง ๆ ของวิทยานิพนธ์ฉบับนี้

ขอขอบคุณบริษัทผู้ร่วมทำวิจัย จำกัด ที่กรุณาร่วมให้การสนับสนุนตัวอย่างหัวบันทึกสำหรับทดสอบสถานที่ และเครื่องมือ ตลอดจนคำปรึกษาต่าง ๆ แก่ผู้วิจัย และให้ความช่วยเหลือผู้วิจัยในการทดสอบหัวบันทึก จนแล้วเสร็จลุล่วงตามวัตถุประสงค์ด้วยดี

ท้ายสุดนี้ผู้วิจัยขอกราบขอบพระคุณ คุณแม่ พื้นทอง ครอบครัว เพื่อนและรุ่นน้องทุกท่านที่สนับสนุน และให้กำลังใจด้วยดีเสมอมา

ณัฏฐ์ชัย จุทอง

งานวิทยานิพนธ์นี้มอบส่วนดีให้บุพการีและคณาจารย์

## สารบัญ

	หน้า
บทคัดย่อภาษาไทย	ก
บทคัดย่อภาษาอังกฤษ	ข
คำอุทิศ	ค
กิตติกรรมประกาศ	ง
สารบัญตาราง	ช
สารบัญภาพ	ช
<b>บทที่ 1 บทนำ</b>	<b>1</b>
1.1    ความเป็นมาและความสำคัญของปัญหา	1
1.2    วัตถุประสงค์ของการวิจัย	2
1.3    วิธีการดำเนินการวิจัย	2
1.4    ขอบเขตของการวิจัย	3
1.5    ประโยชน์ที่คาดว่าจะได้รับ	3
1.6    สถานที่ทำการวิจัย	3
<b>บทที่ 2 วรรณกรรมและผลงานที่เกี่ยวข้อง</b>	<b>4</b>
2.1    บทนำ	4
2.2    โครงสร้างอิเล็กทรอนิกส์ (Electronics Structure)	4
2.3    ทฤษฎีการขนย้ายอิเล็กตรอนสpin	9
2.4    แผ่นพิล์มบางแม่เหล็ก TMR	14
2.5    หัวอ่านข้อมูลแม่เหล็กชนิด TMR	28
2.6    เฮดกิมบลแอสเซมบลี (Head Gimbal Assembly,HGA)	31
2.7    การพยายามประจุไฟฟ้าสถิต	31
2.8    ผลจากการพยายามประจุไฟฟ้าสถิตที่มีต่อหัวอ่าน TMR	34
<b>บทที่ 3 การทดลอง</b>	<b>36</b>
3.1    การออกแบบ แบบจำลองของหัวอ่าน TMR ในระดับการผลิต HGA	36
3.2    การทดลองโดยอาศัยแบบจำลอง	39
3.3    การทดลองโดยอาศัยการทดลอง	41
<b>บทที่ 4 ผลการทดลอง</b>	<b>44</b>
4.1    การทดสอบผลของแรงดันการพยายามประจุไฟฟ้าสถิตต่อหัวอ่าน	44
4.2    ผลของ FOS และ การต่อขนาด ต่อการพยายามประจุไฟฟ้าสถิต	56
4.3    ผลของเส้นทางการพยายามประจุต่อหัวอ่านข้อมูล	62
4.4    ผลของการพยายามประจุต่อความสมมาตร	72
4.5    การวิเคราะห์ผลของการพยายามประจุที่มีต่อการเปลี่ยนแปลงความต้านทาน และความสมมาตร โดยอาศัยทฤษฎีการขนถ่ายอิเล็กตรอน	73
4.6    ผลของการพยายามประจุต่อคุณสมบัติทางแม่เหล็ก	86

## สารบัญ (ต่อ)

	หน้า
4.7 ผลของแบบจำลองจักรกลต่อหัวอ่าน	90
4.8 ผลของแบบจำลองประจุสะสมในอุปกรณ์ต่อหัวอ่าน	95
<b>บทที่ 5 บทสรุปและข้อเสนอแนะ</b>	<b>100</b>
5.1 ผลจากแรงดันการคายประจุต่อการทะลายในหัวบันทึก	100
5.2 ผลจากการคายประจุที่มีต่อการเปลี่ยนแปลงความต้านทาน	100
5.3 ข้อเสนอแนะ	100
<b>เอกสารอ้างอิง</b>	<b>102</b>
<b>ภาคผนวก</b>	<b>107</b>

## สารบัญตาราง

ตารางที่ 3.1 เกณฑ์สำหรับประเมินความเสี่ยง

หน้า

43

## สารบัญภาพ

	หน้า
ภาพที่ 1.1 โครงสร้างพื้นฐานของแผ่นฟิล์มบางที่อีมาร์	1
ภาพที่ 2.1 โครงสร้างแบบ ของระบบ Kronig-Penny ซึ่งเป็นระบบขนาด 1 มิติ	5
ภาพที่ 2.2 โครงสร้างอิเล็กทรอนิกส์ของ สารหมู่	6
ภาพที่ 2.3 โครงสร้างอิเล็กทรอนิกส์ของทองแดง	7
ภาพที่ 2.4 โครงสร้างอิเล็กทรอนิกส์ของวัสดุ钴อลต์ (Cobalt)	8
ภาพที่ 2.5 แนวคิดพื้นฐานของการเกิด ปรากฏการณ์การกระเจิงของอิเล็กตรอน	9
ภาพที่ 2.6 ขบวนการขยับอิเล็กตรอนที่เกิดขึ้นในความด้านทาน	10
ภาพที่ 2.7 โครงสร้างของผลึกไฮโดรเจน ในระบบสองมิติ	11
ภาพที่ 2.8 การขยับอิเล็กตรอน เมื่อมีการจ่ายแรงดันขนาด V โวลต์	11
ภาพที่ 2.9 อุปกรณ์ในระดับอะตอม (Atomistic) ที่มีผ่านการกระเจิง ข้าวด้านซ้ายและด้านขวา	14
ภาพที่ 2.10 โครงสร้างพื้นฐานของแผ่นฟิล์มแม่เหล็ก TMR	15
ภาพที่ 2.11 ความสัมพันธ์ระหว่าง DOS และการเกิดspinโพลาไซซ์ชั่น	16
ภาพที่ 2.12 การให้ผลผ่านจำนวน คลื่นที่พุ่งเข้ามายังบARRIER (Barrier)	18
ภาพที่ 2.13 เส้นทางการเคลื่อนที่ของอิเล็กตรอนผ่านสมมาตรต่างๆ	18
ภาพที่ 2.14 การแบ่งประเภทของสมมาตร ตาม วงโคจรของอิเล็กตรอน	19
ภาพที่ 2.15 ความสัมพันธ์ระหว่าง พลังงาน และ $(k\Delta_z)^2$	20
ภาพที่ 2.16 การเปลี่ยนแปลง DOS ที่แต่ละชั้นของโครงสร้างของ Fe/MgO/Fe	21
ภาพที่ 2.17 ความสัมพันธ์ระหว่างพื้นที่ความด้านทาน และสัดส่วน TMR ที่อุณหภูมิห้อง	21
ภาพที่ 2.18 การเกิดการทะลายแบบหนักสำหรับแผ่นฟิล์มบางแม่เหล็กที่มีความหนาต่างกัน	23
ภาพที่ 2.19 ผลของความร้อนที่มีต่อ การเกิดการทะลาย และ อัตราส่วน TMR	23
ภาพที่ 2.20 ผลของขนาดของพื้นที่ความด้านทาน ที่มีต่อการเกิดการทะลายและความหนาแน่นกระแส ที่เกิดจากการจ่ายแรงดันต่างข้าว	24
ภาพที่ 2.21 ความสัมพันธ์ระหว่างพลังงานและ สัมประสิทธิ์การส่งผ่านของแผ่นฟิล์มบางในอุดมคติ Fe/MgO/Fe	25
ภาพที่ 2.22 การเกิดพินไฮโลภายในแผ่นฟิล์มบางแม่เหล็ก TMR	26
ภาพที่ 2.23 ภาพถ่าย TEM ของแผ่นฟิล์มบาง TMR	26
ภาพที่ 2.24 ความสัมพันธ์ระหว่างการจ่ายแรงดัน และ พื้นที่ความด้านทาน	26
ภาพที่ 2.25 ความสัมพันธ์ระหว่างความหนาของชั้นฉนวน MgO และ ขนาดของพินไฮโล	27
ภาพที่ 2.26 วิวัฒนาการของการคั่นพบ และใช้งาน ความด้านทานแม่เหล็ก	28
ภาพที่ 2.27 โครงสร้างของหัวบันทึก TMR	28
ภาพที่ 2.28 ส่วนประกอบของหัวอ่านข้อมูลแบบ TMR	29
ภาพที่ 2.29 โครงสร้างของแผ่นฟิล์มบางประเภท TMR	30
ภาพที่ 2.30 ส่วนประกอบของเข็ดกิมบอลแอดแซมบลี	31
ภาพที่ 2.31 วงจรการทดสอบ HBM	32

## สารบัญภาพ (ต่อ)

	หน้า
ภาพที่ 2.32 รูปคลื่นที่ได้จาก HBM ตาม มาตรฐาน ANSI/ESD STM5.1-2007	32
ภาพที่ 2.33 วิจารณาทดสอบ MM	33
ภาพที่ 2.34 รูปคลื่นกระแสที่ได้จากการทดสอบ ESD ในระบบการวัดขนาด 3.5 GHz	33
ภาพที่ 2.35 การเปลี่ยนแปลงความด้านทานของหัวบันทึกชนิด TMR และ GMR ที่เกิดจาก การคายประจุไฟฟ้าสถิตย์	34
ภาพที่ 2.36 เส้นโค้งทรานซ์เฟอร์ของหัวบันทึกที่เกิดความเสียหายจาก การคายประจุไฟฟ้าสถิต	35
ภาพที่ 2.37 ผลของแรงดันจากแบบจำลอง HBM ที่มีต่อการเปลี่ยนแปลงขนาดของ Maximum Noise Spike	35
ภาพที่ 2.38 ผลของแรงดันจากแบบจำลอง HBM ที่มีต่อการเปลี่ยนแปลงค่าความด้านทาน	35
ภาพที่ 3.1 องค์ประกอบของเขตกิมบอลแอลเซมบลี	36
ภาพที่ 3.2 ส่วนประกอบของ HGA	36
ภาพที่ 3.3 โครงสร้างและแบบจำลองของหัวอ่านข้อมูล	37
ภาพที่ 3.4 แบบจำลองไฟฟ้าสายน้ำสัญญาณ	38
ภาพที่ 3.5 แบบจำลองไฟฟ้าระหว่างส่วนฐานและแขนรอง	39
ภาพที่ 3.6 สำหรับหัวบันทึกข้อมูลแบบ TMR ในระดับการผลิต HGA	39
ภาพที่ 3.7 วิจารที่ใช้สำหรับศึกษาการคายประจุไฟฟ้าสถิต	40
ภาพที่ 3.8 การจัดเตรียมอุปกรณ์สำหรับใช้ทดสอบผลจากการคายประจุไฟฟ้าสถิต โดยการคายประจุคร่อมระหว่างขั้ว R+(-) และ R-(+)	41
ภาพที่ 3.9 การจัดเตรียมอุปกรณ์สำหรับใช้ทดสอบผลจากการคายประจุไฟฟ้าสถิต โดยการคายประจุคร่อมระหว่างขั้ว R+ (-) และ กราวด์	42
ภาพที่ 3.10 เครื่อง QST ที่ใช้ในการทดสอบ	42
ภาพที่ 3.11 Switching ที่ถูกใช้ในการทดสอบ	42
ภาพที่ 3.12 Scope ที่ถูกใช้ในการทดสอบ	43
ภาพที่ 3.13 ภาพรวมของการทดสอบ	43
ภาพที่ 4.1 ความสัมพันธ์ระหว่างแรงดันการคายประจุไฟฟ้าสถิต และกระแสที่โหลดผ่าน $R_{TMR}$	44
ภาพที่ 4.2 รูปสัญญาณของกระแสที่โหลดผ่าน $R_{TMR}$ เมื่อทำการคายประจุโดยอาศัยกรณี การคายประจุที่ต่างกัน	45
ภาพที่ 4.3 วิจารณาทดสอบการคายประจุ	45
ภาพที่ 4.4 แบบจำลองของหัวอ่านของหัวบันทึก	47
ภาพที่ 4.5 แบบจำลองที่ถูกจัดเรียงใหม่ในลักษณะของวงจร $\pi$	47
ภาพที่ 4.6 แบบจำลองของวงจรที่ใช้คำนวนหาค่าอิมพีเดนซ์ของวงจรเมื่อ คายประจุระหว่าง R+ เทียบกับกราวด์ และ R- เทียบกับกราวด์	48
ภาพที่ 4.7 $1/G_{TMR}(j\omega)$ ที่ได้จากการคายประจุระหว่าง R+ เทียบกราวด์ และ R- เทียบกราวด์	49
ภาพที่ 4.8 ระดับแรงดันที่ทำให้เกิดความเสียหาย จากการทดสอบจริงเทียบกับ การคายประจุใน 4 รูปแบบ	50

## สารบัญภาพ (ต่อ)

	หน้า
ภาพที่ 4.9 ภาพถ่าย SEM ของหัวบันทึก ที่เกิดความเสียหายเนื่องจาก กรณีที่ 1	51
ภาพที่ 4.10 ภาพถ่าย SEM ของหัวบันทึก ที่เกิดความเสียหายเนื่องจาก กรณีที่ 2	52
ภาพที่ 4.11 ภาพถ่าย SEM ของหัวบันทึก ที่เกิดความเสียหายเนื่องจาก กรณีที่ 3	53
ภาพที่ 4.12 ภาพถ่าย SEM ของหัวบันทึก ที่เกิดความเสียหายเนื่องจาก กรณีที่ 4	54
ภาพที่ 4.13 ผลของการคายประจุที่มีต่อกระแสไฟล์ผ่านหัวบันทึกในระดับการผลิต HGA	55
ภาพที่ 4.14 ระดับแรงดันที่ทำให้หัวบันทึกเกิดความเสียหายจากการจำลองเทียบกับการทดลอง ที่เกิดจากการคายประจุในแต่ละกรณี	56
ภาพที่ 4.15 ผลของ C_FOS+ และ C_FOS - ต่อขนาดของกระแสไฟล์ผ่าน $R_{TMR}$ ที่ระดับแรงดัน การคายประจุขนาด 28 โวลต์ โดยอาศัยกรณีการคายประจุที่ต่างกัน	57
ภาพที่ 4.16 ผลของ C_FOS ต่อขนาดของกระแสไฟล์ผ่าน $R_{TMR}$ ที่ระดับแรงดันการคายประจุ ขนาด 28 โวลต์ โดยอาศัยกรณีการคายประจุที่ต่างกัน	58
ภาพที่ 4.17 ผลของ $R_{Shunt+}$ และ $R_{Shunt-}$ ต่อขนาดของกระแสไฟล์ผ่าน $R_{TMR}$ ที่ระดับแรงดัน การคายประจุขนาด 28 โวลต์ โดยอาศัยรูปแบบการคายประจุที่ต่างกัน	60
ภาพที่ 4.18 ผลของ $R_{Shunt}$ ต่อขนาดของกระแสไฟล์ผ่าน $R_{TMR}$ ที่ระดับแรงดันการคายประจุ ขนาด 28 โวลต์ โดยอาศัยรูปแบบการคายประจุที่ต่างกัน	61
ภาพที่ 4.19 ผลของ $R_{Parallel}$ ต่อขนาดของกระแสไฟล์ผ่าน $R_{TMR}$ ที่ระดับแรงดันการคายประจุ ขนาด 28 โวลต์ โดยอาศัยรูปแบบการคายประจุที่ต่างกัน	61
ภาพที่ 4.20 ผลเฉลี่ย การเปลี่ยนแปลงความด้านทานของหัวบันทึก ในกรณีที่ 1 และ 2	64
ภาพที่ 4.21 แบบจำลองไฟฟ้าสำหรับการคายประจุในกรณีที่ 1 และ 2	65
ภาพที่ 4.22 แรงดันตกคร่อม $R_{TMR}$ และ $C_{BS}$ ที่เกิดจากการคายประจุกรณีที่ 1 และ 2	66
ภาพที่ 4.23 ผลเฉลี่ย การเปลี่ยนแปลงความด้านทานของหัวบันทึกในกรณีที่ 3 และ 4	68
ภาพที่ 4.24 แบบจำลองไฟฟ้าสำหรับการคายประจุในกรณีที่ 3 และ 4	70
ภาพที่ 4.25 แรงดันตกคร่อม $R_{TMR}$ และ $C_{BS}$ ที่เกิดจากกรณีที่ 3 และ 4	71
ภาพที่ 4.26 ผลเฉลี่ย อสมมาตร ที่เกิดจากการคายประจุที่ต่างกัน	72
ภาพที่ 4.27 โครงสร้างของ CoFe/MgO/CoFe แบบ บล็อก (Bulk )	73
ภาพที่ 4.28 ตัวอย่างการซ้อนทับ (Overlap) ระหว่างออร์บิทัลของอะตอมสองตัวที่อยู่ใกล้กัน	75
ภาพที่ 4.29 ความสัมพันธ์ระหว่างระดับพลังงานและสัมประสิทธิ์การส่งผ่าน	77
ภาพที่ 4.30 ความสัมพันธ์ระหว่างสัมประสิทธิ์การส่งผ่าน และพลังงานที่ระดับพลังงาน	79
<b>กลไกพลังงานเฟอร์มี</b>	
ภาพที่ 4.31 ขนาดสัมประสิทธิ์การส่งผ่านที่ระดับพลังงานเฟอร์มี ที่เกิดจากโครงสร้างที่ 1-5	80
ภาพที่ 4.32 PDOS ของแต่ละอะตอมในโครงสร้างที่ 1	81
ภาพที่ 4.33 PDOS ของแต่ละอะตอมในโครงสร้างที่ 2 และ 3	82
ภาพที่ 4.34 PDOS ของแต่ละอะตอมในโครงสร้างที่ 4 และ 5	83
ภาพที่ 4.35 ทิศทางการไหลของกระแสที่เกิดจากโครงสร้างที่ 1 ถึง 5	85
ภาพที่ 4.36 ความเสียหายที่บริเวณแผ่นฟิล์ม TMR ที่คาดว่าจะเกิดขึ้นจากการคายประจุกรณีที่ 1-4	86

## สารบัญภาพ (ต่อ)

	หน้า
ภาพที่ 4.37 ค่าเฉลี่ย RMS ของสัญญาณข้าออก ความด้านทาน การเกิดวงซีสท์ริชิส ของเส้นโค้งทรานเฟอร์ และการกระໂດดแบบบาร์กເຫາເຊັນ ที่ເກີດຈາກກຣັບສິນຕະຫຼາມປະຈຸ ກຣັບທີ່ 1	87
ภาพที่ 4.38 ค่าเฉลี่ย RMS ของสัญญาณข้าออก ความด้านทาน การเกิดวงซีสທີ່ຮັບສິນ ของเส้นโค้งทรานເຟຝຣ ແລະກາງກຣະໂດດແບບບາრັກເຫາເຊັນ ທີ່ເກີດຈາກກຣັບສິນຕະຫຼາມປະຈຸ ກຣັບທີ່ 2	88
ภาพที่ 4.39 ค่าเฉลี่ย RMS ของสัญญาณข้าออก ความด้านทาน การเกิดวงซື່ສທີ່ຮັບສິນ ของเส้นโค้งทรานເຟຝຣ ແລະກາງກຣະໂດດແບບບາරັກເຫາເຊັນ ທີ່ເກີດຈາກກຣັບສິນຕະຫຼາມປະຈຸກຣັບທີ່ 3	89
ภาพที่ 4.40 ค่าเฉลี่ย RMS ของสัญญาณข้าออก ความด้านทาน การเกิดวงซື່ສທີ່ຮັບສິນ ของเส้นโค้งทรานເຟຝຣ ແລະກາງກຣະໂດດແບບບາරັກເຫາເຊັນ ທີ່ເກີດຈາກກຣັບສິນຕະຫຼາມປະຈຸກຣັບທີ່ 4	89
ภาพที่ 4.41 ผลຂອງແຮງດັນກຣະປະຈຸແບບ MM ຕ່ອ ຂະດາຂອງກຣະແສໄຫລຜ່ານ $R_{TMR}$	90
ภาพที่ 4.42 ຮູປສัญญาณກຣະແສ ທີ່ໄຫລຜ່ານ $R_{TMR}$ ( $I_{TMR}$ ) ອັນເປັນຜລເນື່ອມາຈັກ ກຣະປະຈຸແບບ MM ໂດຍເຄີຍແຮງດັນກຣະປະຈຸນາດ 5 ໂວລ໌	91
ภาพที่ 4.43 ຜລຂອງ $C_{FOS+}$ ແລະ $C_{FOS-}$ ທີ່ມີຕ່ອຂະດາຂອງກຣະແສທີ່ໄຫລຜ່ານ $R_{TMR}$ ທີ່ຮະດັບແຮງດັນ ກຣະປະຈຸນາດ 5 ໂວລ໌ຈາກ MM ໂດຍເຄີຍຮູປແບບກຣະປະຈຸທີ່ຕ່າງກັນ	92
ภาพที่ 4.44 ຜລຂອງ $R_{Shunt+}$ ແລະ $R_{Shunt-}$ ທີ່ມີຕ່ອຂະດາຂອງກຣະແສທີ່ໄຫລຜ່ານ $R_{TMR}$ ທີ່ຮະດັບແຮງດັນ ກຣະປະຈຸນາດ 5 ໂວລ໌ ຈາກ MM ໂດຍເຄີຍຮູປແບບກຣະປະຈຸທີ່ຕ່າງກັນ	93
ภาพที่ 4.45 ຜລຂອງ $R_{Shunt}$ ທີ່ມີຕ່ອຂະດາຂອງກຣະແສທີ່ໄຫລຜ່ານ $R_{TMR}$ ທີ່ຮະດັບແຮງດັນ ກຣະປະຈຸນາດ 5 ໂວລ໌ ຈາກ MM ໂດຍເຄີຍຮູປແບບກຣະປະຈຸທີ່ຕ່າງກັນ	94
ภาพที่ 4.46 ຜລຂອງ $R_{Parallel}$ ທີ່ມີຕ່ອຂະດາຂອງກຣະແສທີ່ໄຫລຜ່ານ $R_{TMR}$ ທີ່ຮະດັບແຮງດັນ ກຣະປະຈຸນາດ 5 ໂວລ໌ ຈາກ MM ໂດຍເຄີຍຮູປແບບກຣະປະຈຸທີ່ຕ່າງກັນ	94
ภาพที่ 4.47 ຜລຂອງແຮງດັນກຣະປະຈຸແບບ CDM ຕ່ອ ຂະດາຂອງກຣະແສໄຫລຜ່ານ $R_{TMR}$	95
ภาพที่ 4.48 ຮູປສัญญาณກຣະແສ ທີ່ໄຫລຜ່ານ $R_{TMR}$ ( $I_{TMR}$ ) ອັນເປັນຜລເນື່ອມາຈັກ ກຣະປະຈຸແບບ CDM ໂດຍເຄີຍຮູປແບບກຣະປະຈຸທີ່ຕ່າງກັນ 1.45 ໂວລ໌	96
ภาพที่ 4.49 ຜລຂອງ $C_{FOS+}$ ແລະ $C_{FOS-}$ ທີ່ມີຕ່ອຂະດາຂອງກຣະແສທີ່ໄຫລຜ່ານ $R_{TMR}$ ທີ່ຮະດັບແຮງດັນ ກຣະປະຈຸນາດ 1.45 ໂວລ໌ ຈາກ CDM ໂດຍເຄີຍຮູປແບບກຣະປະຈຸທີ່ຕ່າງກັນ	97
ภาพที่ 4.50 ຜລຂອງ $R_{Shunt+}$ ແລະ $R_{Shunt-}$ ທີ່ມີຕ່ອຂະດາຂອງກຣະແສທີ່ໄຫລຜ່ານ $R_{TMR}$ ທີ່ຮະດັບແຮງດັນ ກຣະປະຈຸນາດ 1.45 ໂວລ໌ ຈາກ CDM ໂດຍເຄີຍຮູປແບບກຣະປະຈຸທີ່ຕ່າງກັນ	98
ภาพที่ 4.51 ຜລຂອງ $R_{Parallel}$ ທີ່ມີຕ່ອຂະດາຂອງກຣະແສທີ່ໄຫລຜ່ານ $R_{TMR}$ ທີ່ຮະດັບແຮງດັນກຣະປະຈຸ ນາດ 1.45 ໂວລ໌ ຈາກ CDM ໂດຍເຄີຍຮູປແບບກຣະປະຈຸທີ່ຕ່າງກັນ	99